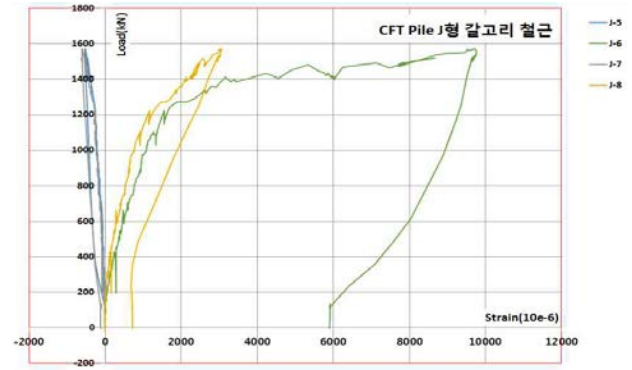
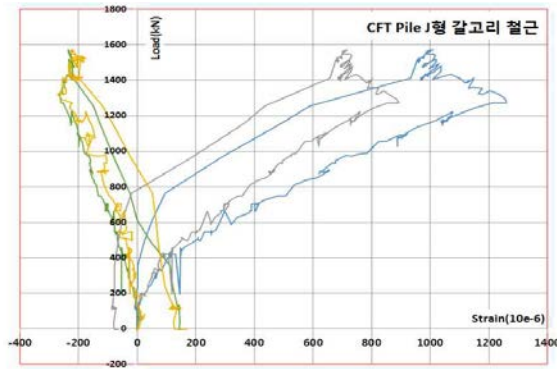


는 하중이 증가함에 따라 강관의 변형률도 증가하는 추세를 보였다. 하중 1200kN에서는 실물 실험체의 오른쪽에 위치한 In-6 내부 철근이 항복하였다.

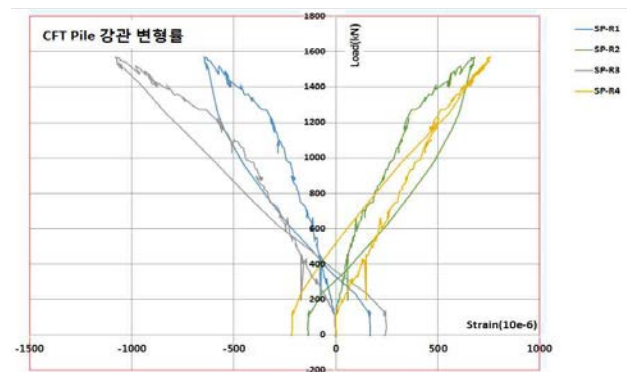
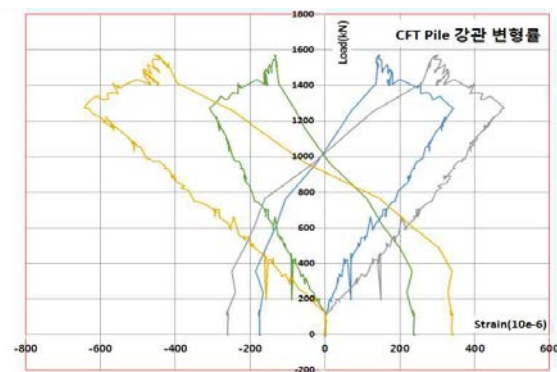
(나) CFT Pile 두부 보강 J형 갈고리 철근(J-1~In-8)



[그림 3.6.55] CFT Pile J형 갈고리 철근(J-1~J-4) [그림 3.6.56] CFT Pile J형 갈고리 철근(J-5~J-8)

실물 모형 실험체의 재하 된 하중과 CFT Pile 두부 보강 J형 갈고리 철근에 부착한 변형률을 [그림 3.6.55]과 [그림 3.6.56]에 나타내었다. J-1부터 J-4까지는 실물 실험체의 왼편에 위치한 CFT Pile의 J형 갈고리 철근에 부착하였으며, J-1과 J-3은 인장부에 J-2와 J-4는 압축부에 부착하였다. 반대로 J-5부터 J-8까지는 실물 실험체의 오른쪽에 위치한 CFT Pile의 J형 갈고리 철근에 부착하였으며, J-5와 J-7은 압축부에 J-6와 J-8은 인장부에 부착하였다. 재하 되는 하중의 크기가 110kN 까지는 CFT Pile J형 갈고리 철근에 발생하는 변형률은 없었으며, 재하 되는 하중의 크기가 110kN 이후부터는 하중이 증가함에 따라 강관의 변형률도 증가하는 추세를 보였다. 하중 1200kN에서 실물 실험체의 오른쪽에 위치한 J-6 J형 갈고리의 철근이 항복하였다.]

(다) CFT Pile 강관 변형률(SP-L1~SP-L4, SP-R1~SP-R4)



[그림 3.6.57] CFT Pile 강관 (SP-L1~SP-L4)

[그림 3.6.58] CFT Pile 강관 (SP-L1~SP-L4)

실물 모형 실험체의 재하 된 하중과 CFT Pile 강관에 부착한 변형률을 [그림 3.6.57]와 [그림 3.6.58]에 나타내었다. SP-L은 실물 실험체의 왼편에 위치한 CFT Pile 강관으로 SP-L1과 SP-L3은 인장부에 SP-L2와 SP-L4는 압축부에 부착하였다. 반대